

بررسی اثر اتیلن بر میزان بیان ژن‌های *AVLBS*, *DAT*, *G10H*, *T16H* در گیاه *(Catharanthus roseus)* پروانش

Evaluation of ethylene effect on expression level of *T16H*, *G10H*, *DAT* and *AVLBS* genes in *Catharanthus roseus*

میثم شبانی^۱، محمد فارسی^۲، امین میرشمی کاخکی^۲

۱- دانشجوی دکتری، دانشگاه محقق اردبیلی
۲- به ترتیب استاد و استادیار، دانشگاه فردوسی مشهد

Shabani M^{*1}, Farsi M², Mirshamsi Kakhki A²

1. PhD Student, Mohaghegh Ardabili University, Ardabil, Iran
2. Professor and Assistant Professor, Ferdowsi University of Mashhad, Mashhad, Iran

* نویسنده مسئول مکاتبات، پست الکترونیکی: meisha3@gmail.com

(تاریخ دریافت: ۹۲/۶/۲۰ - تاریخ پذیرش: ۹۲/۱۲/۱۱)

چکیده

پروانش (*Catharanthus roseus*) یک گیاه مدل دارویی است. ریشه این گیاه محل تجمع دو آلتالوئید اجمالسین و سربینین است، که در درمان بیماری‌های قلبی-عروقی، از جمله فشار خون بالا استفاده می‌شود. این گیاه به خصوص به علت وجود آلتالوئیدهای وین‌پلاستین و وین‌کوریستین، که در درمان سرطان به کار برده می‌شود، اهمیت زیادی پیدا کرده است. با توجه به افزایش تولید متabolیت‌های این گیاه در تیمار با اتیلن، هدف این تحقیق بررسی بیان ژن‌ها و شناخت ژن‌های موثر در این رابطه بود. بدین منظور بیان ژن‌های *T16H*, *G10H*, *DAT* و *AVLBS* پس از تیمار با اتیلن، و در بازده‌های زمانی ۶, ۱۲, ۲۴, ۴۸ و ۷۲ ساعت با استفاده از تکنیک واکنش زنجیره‌ای پلیمراز در واحد زمان (qRT-PCR)، بررسی شد. بیان ژن‌ها *DAT*, *T16H* و *AVLBS* در ۶ ساعت پس از تیمار با اتیلن نسبت به شاهد افزایش و در ۱۲ ساعت کاهش یافت و پس از آن روند ثابتی پیدا کرد. همچنین ژن *G10H* با تابعیت از این الگو در ۷۲ ساعت نیز افزایش بیان داشت و از الگوی سه ژن دیگر تبعیت نکرد. با توجه به نتایج این آزمایش به نظر می‌رسد که ژن *G10H*, ژن مهمی در پاسخ به اتیلن باشد.

واژه‌های کلیدی

اتیلن

بیان ژن

پروانش

Catharanthus roseus
DNA

مقدمه

وین کریستین که در بخش هوایی گیاه تولید می‌شود (حدود ۰/۰۰۰۵ درصد وزن خشک) و همچنین استخراج آنها از میان ترکیبات زیادی، که از لحاظ خصوصیات فیزیکی و شیمیابی بسیار به هم شبیه هستند، باعث افزایش قیمت بسیار زیاد این دو ماده شده است (Scott 1979; De Luca and Laflamme 2001).

آلکالوئیدهای ایندول ترپنoidی از دو بخش کلی ترپنoid و حلقه ایندولی تشکیل شده‌اند. منشا بخش ترپنoid این نوع آلکالوئیدها، مسیر ۲-C-متیل D-اریتریتول-۴-فسفات (MEP)^۱ و موالونات است، در حالی که منشا اسکلت ایندولی آنها، اسید آمینه ترپیتوфан می‌باشد. ترپیتوфан از کوریسمات ساخته می‌شود و منشا Van der fits and Memelink 2000; Endt et al. 2002; El-Sayed and Verpoorte 2007a (2007a). دی متیلآلیل دی فسفات (DMAPP)^۲ و ایزوپنتیل دی فسفات (IPPP)^۳ منشا گرفته از مسیر ۲-C-متیل D-اریتریتول-۴-فسفات و موالونات، با هم ترکیب شده و گرانیل ساخته می‌شود (Oudin et al. 2007). سپس گرانیل از طریق مسیر Iridoid به اسکولگانین تبدیل می‌شود (El-Sayed and Verpoorte 2007a).

گرانیل-۱۰-هیدروکسیلаз (G10H)^۴ آنزیم مهمی است که در هیدروکسیلاسیون، گرانیل نقش دارد و در مسیر Iridoid وجود دارد (Suttipanta et al. 2007). از ترکیب ترپیتامین (ساخته شده از ترپیتوfan) و اسکولگانین، توسط آنزیم استریکتوسیدین سیتاز (STR)^۵، استریکتوسیدین ساخته می‌شود. استریکتوسیدین یک حد واسط مهم و پیش ماده بسیاری از آلکالوئیدهای ایندول ترپنoidی است. استریکتوسیدین در ادامه به تابرسونین و کاتارانتین تبدیل می‌شود. تابرسونین از طریق مسیر وین دولین به وین دولین تبدیل می‌شود. آنزیم‌های تابرسونین-۱۶-هیدروکسیلاز (T16H)^۶ و استیل کوا: داستیل وین دولین-۱۷-O-استیل ترانسفراز (DAT)^۷ در اولین و آخرین مرحله مسیر وین دولین قرار دارند. از ترکیب کاتارانتین و وین دولین در واکوئل توسط

Catharanthus roseus (L.) G. Don (Apocynaceae) است (Van der Heijden et al. 2004). پروانش یک گیاه مدل دارویی است که تحقیقات زیادی بر روی آن انجام شده است. این گیاه حاوی ۱۳۰ نوع آلکالوئیدهای ایندول ترپنoidی (TIA) است (Van der Heijden et al. 2004; El-Sayed and Verpoorte 2007a, b; Zhao and Verpoorte 2007).

ریشه این گیاه محل تجمع دو آلکالوئید اجمالسین و سرپیتین است. این آلکالوئیدها ترکیبات مهم دارویی برای درمان انواع بیماری‌های قلبی-عروقی از جمله فشار خون بالا می‌باشند (Svoboda and Blake 1975). این گیاه به علت وجود آلکالوئیدهای دایمر وین‌بلاستین و وین کریستین، که در برگ و اندام‌های هوایی آن تولید می‌شوند، و در شیمی درمانی انواع مختلفی از سلطان‌های خون، غله‌های لفناوی، پستان، ریه و تخمداهن به کار برده می‌شود، اهمیت زیادی پیدا کرده است (Mukherjee et al. 2001; Van der Heijden et al. 2004).

دو ماده دارای ارزش اقتصادی بسیار بالایی هستند. قیمت هر کیلوگرم وین‌بلاستین یک میلیون دلار و تولید سالانه آن ۱۲ کیلوگرم و قیمت هر کیلو گرم وین کریستین ۳/۵ میلیون دلار و تولید سالانه آن یک کیلوگرم است (Loyola-Vargas et al. 2007).

در حال حاضر، مواد وین‌بلاستین و وین کریستین به طور عمده توسط استخراج از گیاه *C. roseus* به دست می‌آیند. دلیل این امر آن است که روش‌های تمام سنتزی و نیمه سنتزی و روش‌های دیگر برای تولید این مواد در مقایس وسیع مناسب نیستند (Atta et al. 1976; Kutney 1977). همچنین تلاش زیادی برای تولید این ترکیبات در مقایس وسیع به وسیله کشت سوسپانسیون سلولی و ریشه‌های مؤین انجام شده است. به دلیل اینکه کشت سلولی فاقد مسیر تولید وین دولین، (پیش ماده وین‌بلاستین و وین کریستین) می‌باشد، در تولید این مواد موفق نبوده‌اند (Zhao and Verpoorte 2007).

^۱ Terpenoid indole alkaloids

² 2-C-Methyl-D-Erythritol 4-Phosphate

³ Dimethylallyl Diphosphate

⁴ Isopentenyl Diphosphate

⁵ Geraniol 10-Hydroxylase

⁶ Strictosidine synthase

⁷ Tabersonine 16-Hydroxylase

⁸ Acetyl CoA : Deacetylvinodoline 17-O-Acetyltransferase

پروانش سه ماه پس از جوانه زدن شروع به گلدهی می‌کند، که جهت استفاده تجاری جمع‌آوری می‌شود. از طرفی تیمار با اتیلن در طول دوره گلدهی باعث افزایش معنی‌داری در کاتارانین، وین‌دولین و وین‌بلاستین، می‌شود (Pan et al. 2010). مکانیسم مولکولی تنظیم پیش ماده‌های ترپنی مسیر TIA، توسط اتیلن در طول مراحل مختلف رشدی گیاه هنوز ناشناخته مانده است (Hedhili et al. 2007). با توجه به نتایج فوق، گزارشی در رابطه با اثر اتیلن بر روی میزان بیان ژن‌ها در مرحله گلدهی وجود ندارد، لذا این تحقیق به منظور بررسی اثرات اتیلن بر میزان بیان چهار ژن DAT, G10H, T16H و AVLBS مسیر بیوستزی آلالوئیدهای ایندول ترپنوتیپیدی در گیاه پروانش در مرحله گلدهی، با استفاده از تکنیک واکنش زنجیره‌ای پلیمراز در واحد زمان (qRT-PCR) انجام شد.

مواد و روش‌ها

کاشت و تیمار گیاه پروانش با اتیلن بندر F1 گیاه پروانش، واریته Vinca Pacifica × P. Burgundy از کمپانی Pan American Seed خریداری شد. بندر بر روی کاغذ صافی مرطوب در پتری دیش جوانه زده و سپس بذور جوانه زده به داخل لیوان یکبار مصرف حاوی ماسه، منتقل شد. گیاهان در شرایط گلخانه در دمای حدود ۲۰ تا ۲۵ درجه سانتی‌گراد رشد کردند. از کود NPK ۲۰-۲۰-۲۰، حاوی عناصر میکرو برای تغذیه آنها استفاده شد.

جهت تیمار با اتیلن، ابتدا اتفن (به اتیلن شکسته می‌شود) (Sigma-Aldrich) در اتانول حل و سپس استوک یک مولا راز آن تهیه شد. برای تیمار گیاهان، محلول یک مولا راز آب رفیق، و غلظت ۰/۵ میلی‌مولا راز آن تهیه شد. تیمار با اتفن سه ماه پس از کاشت و در مرحله‌ای که گیاه به گل رفته بود و غلاف‌ها تشکیل شده بودند، با اسپری بر روی تمام برگ‌های گیاه انجام شد. سپس در زمان‌های ۱۲، ۲۴، ۴۸ و ۷۲ ساعت پس از تیمار، از بافت برگ گیاهان تیمار شده در هر زمان و شاهد آن در همان زمان، با سه تکرار، نمونه برداری انجام شد.

آنزیم آنهیدرووین‌بلاستین سیتاز (AVLBS)^۱، a'۳-۴'۳-a-^۲ آنهیدرووین‌بلاستین ساخته می‌شود، که در ادامه به وین‌بلاستین و وین‌کریستین تبدیل می‌شود (شکل ۱) (El-Sayed and Verpoorte 2007a).

به دلیل آن که متابولیت‌های ثانویه نقش دفاعی در گیاهان بر عهده دارند، مقدار آنها در اثر اعمال محرك‌ها افزایش می‌یابد. اکثر کارهای انجام شده در چند سال گذشته، در گیاه C. roseus بر روی تنظیم تولید آلالوئیدها، از طریق استفاده از پیش ماده‌ها، محرك‌ها و مهندسی متابولیک متمرکز شده است (El-Sayed and Verpoorte 2007a).

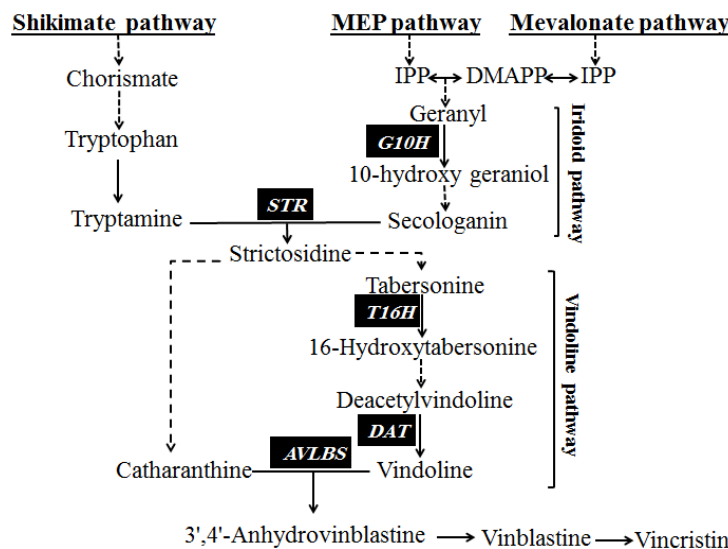
در رابطه با اثر تنظیم کننده‌های رشد گیاهی (PGR)^۲ در تولید آلالوئیدهای ایندول ترپنوتیپیدی در گیاه پروانش تحقیقات زیادی انجام شده است. این ترکیبات تولید متابولیت‌های ثانویه را در این Decendit et al. 1992; Pasquali et al. 1992; El-Sayed and Verpoorte 2007a, b; Zhao and et al. 1992; El-Sayed and Verpoorte 2007; Roytrakul and Verpoorte 2007 (Verpoorte 2007; Roytrakul and Verpoorte 2007).

اتیلن به عنوان یکی از تنظیم کننده‌های رشد گیاهی، بسیاری از فرایندهای مراحل انتهایی گیاه مثل پیری، ریزش برگ، پژمردگی گل‌ها و رسیدگی میوه را بر عهده دارد. این ماده همچنین در طی تنش‌های محیطی افزایش می‌یابد (Kafi et al. 1384). نتایج مطالعات انجام شده در خصوص کاربرد تنظیم کننده‌های رشدی نظیر اتیلن در لاین‌های سلولی گیاه پروانش باعث افزایش اجمالیسین شد (Yahia et al. 1998). اتیلن همچنین باعث افزایش تولید اجمالیسین، سرپتین، تابرسونین، کاتارانین و وین‌دولین شد (El-Sayed and Verpoorte 2004). تجمع اجمالیسین در کشت سوسپانسیون سلولی به وسیله تیمار با متیل جاسمونات و اتیلن افزایش یافت. در کشت ریشه‌های موئین پروانش، اتیلن فقط باعث القای تجمع کاتارانین شد. در کشت بخش هوایی، اتیلن و متیل جاسمونات باعث افزایش وین‌دولین شد. تیمار متیل جاسمونات و اتیلن، باعث افزایش فعالیت آنزیم تریپتوфан دی کربوکسیلаз (TDC)^۳، در کشت سوسپانسیون سلولی شد (Vazquez-Flota et al. 2009).

¹ Anhydrovinblastine synthase

² Plant growth regulator

³ Tryptophan decarboxylase



شکل ۱- مسیر بیوستزی آلالولوئیدهای ایندول ترپنوتیدی در گیاه پروانش (ترسیم شده توسط نویسنده مسئول، بر اساس منابع ذکر شده). فلش‌های ممتد واکنش یک مرحله‌ای و فلش‌های منقطع واکنش چند مرحله‌ای.

همان زمان در نظر گرفته شد و داده‌ها به صورت جفت شده مورد تجزیه و تحلیل قرار گرفت. اختلاف معنی‌داری بین نمونه‌ها در دو سطح یک درصد و پنج درصد بررسی شد.

نتایج و بحث

در این آزمایش به منظور نرم‌السازی داده‌ها، از ژن فاکتور طویل سازی (*CrEF1α*) به عنوان ژن خانه‌دار استفاده شد. این ژن به دلیل فعالیت نسخه‌برداری پایدارش مورد استفاده قرار گرفت. اثرات تیمار با اتفاق بر روی میزان بیان ژن *G10H*، در شکل ۲ نشان داده شده است. نتایج نشان داد که ۶ ساعت پس از تیمار، بیان این ژن نسبت به شاهد ۳/۸ برابر افزایش یافت. ۱۲ ساعت بعد از تیمار، بیان این ژن کاهش و به ۰/۶ میزان شاهد رسید. در ۲۴ ساعت بیان این ژن، افزایش ۱/۲ را نسبت به شاهد نشان داد. ۴۸ ساعت پس از تیمار میزان بیان کاهش ۰/۶ را نسبت به شاهد نشان داد. در نهایت در ۷۲ ساعت بعد از تیمار این ژن افزایش ۸/۲ را نشان داد. همان‌طور که در شکل ۲ مشاهده می‌شود، تنها در دو زمان ۶ و ۷۲ ساعت پس از تیمار، افزایش بیان با نمونه شاهد اختلاف معنی‌داری را به ترتیب در سطح یک درصد و پنج درصد نشان داد. بیشترین مقدار بیان مربوط به ۷۲ ساعت با میزان افزایش ۸/۲ برابری در مقایسه با شاهد بود. روند تغییرات

استخراج RNA و ساخت cDNA استخراج RNA کل به روش CTAB، با اندکی تغییرات، انجام شد (Gambino et al. 2008) به منظور به دست آوردن RNA خالص و عاری از DNA، RNAهای استخراج شده با استفاده از آنزیم DNase 1 شرکت Fermentas، طبق دستورالعمل شرکت سازنده تیمار شد. ساخت cDNA، با استفاده از الیگو dT شرکت AccuPower® RT-PCR PreMix شرکت Fermentas و کیت AVLBS شرکت Pioneer، مطابق دستورالعمل شرکت سازنده انجام شد.

انجام واکنش زنجیره‌ای پلیمراز در واحد زمان توالی آغازگر ژن‌ها *T16H*, *G10H*, *DAT* بر اساس تحقیق Murata and De Luca (2005) ساخته شدند. طراحی آغازگر برای ژن‌ها *CrEF1α*, *AVLBS* برای ژن‌ها *T16H*, *G10H*, *DAT* توسط نرم‌افزار Primer Premier ۳.۰ از روی mRNA این ژن‌ها، انجام شد (جدول ۱).

واکنش اصلی واکنش زنجیره‌ای پلیمراز در واحد زمان بر اساس برنامه بهینه شده، در ۴۰ چرخه، در دستگاه Applied Biosystems, 7300 Real time PCR system Maxima SYBR Green/ROX qPCR Master Mix (2X) شرکت Fermentas، مطابق جدول‌های ۲ و ۳ انجام شد. تجزیه و تحلیل داده‌های حاصل از واکنش زنجیره‌ای پلیمراز در واحد زمان (qRT-PCR)، توسط نرم‌افزار REST-Version 2 انجام شد. برای هر زمان از نمونه تیمار شده، شاهد جداگانه‌ای از

جدول ۱- لیست آغازگرهای استفاده شده جهت بررسی بیان ژن

نام ژن و آغازگر	توالی آغازگر	طول قطعه (جفت باز)	Accession Number
آغازگر CrEF1a	5'- TGGGTTGAGGGAGACAACA-3'	۱۸۴	EU007436
آغازگر CrEF1a	5'- AACACGACCAACAGGGACAGT-3'		
آغازگر DAT	5'- GTGCGTATCCGTTGGTTCT-3'	۱۷۰	DQ778074
آغازگر DAT	5'- CGAACTCAATTCCATCGTCA-3'		
آغازگر T16H	5'- GCTTCATCCACCAGTTCCAT-3'	۲۴۲	FJ647194
آغازگر T16H	5'- CCGGACATATCCTTCTTCCA-3'		
آغازگر AVLBS	5'- GCGTGCATAGTAGATGTGGG-3'	۲۱۸	AM236087
آغازگر AVLBS	5'- GAAATTCTGGTTGCGAGTG-3'		
آغازگر G10H	5'- GGTAGCCTCACGATGGAGAA-3'	۲۴۸	AJ251269
آغازگر G10H	5'- CCTTGGCAGAATCCGAATAA-3'		

جدول ۲- غلظت و حجم بهینه شده اجزای واکنش زنجیرهای پلیمراز در واحد زمان بر روی نمونه‌های cDNA

حجم کل	حجم Master Mix (2x)	نام ماده	مقدار (میکرو لیتر)
۲۵	۱۲/۵	Master Mix (2x)	
	۱۰/۷	آب عاری از Nuclease	
	۰/۴	آغازگر رفت (۱۰ پیکو مول)	
	۰/۴	آغازگر برگشت (۱۰ پیکو مول)	
	۱	cDNA	

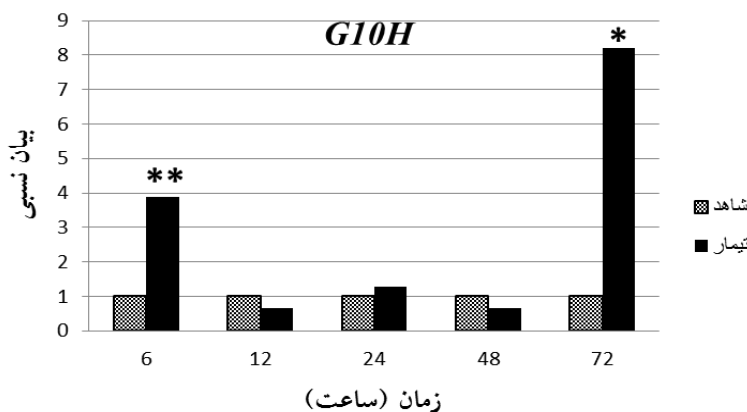
جدول ۳- چرخه دمایی بهینه شده واکنش زنجیرهای پلیمراز در واحد زمان

مرحله	دما (درجه سانتی گراد)	زمان
واسرشت اولیه	۹۵	۱۰ دقیقه
واسرشت ثانویه	۹۵	۱۵ ثانیه
اتصال	۶۰	" ۲۰
بسط	۷۲	" ۳۰

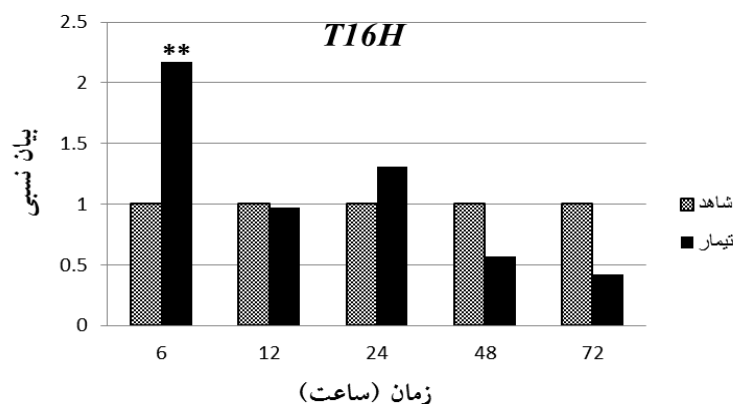
بیان این ژن کاهش و به نصف میزان شاهد رسید. در ۷۲ ساعت مجدداً میزان بیان، کاهش 40% را نسبت به شاهد نشان داد. با توجه به شکل ۳ مشخص می‌شود که تنها در زمان ۶ ساعت پس از تیمار اتفن ژن T16H افزایش معنی داری را نسبت به شاهد در سطح یک درصد نشان داده است و در سایر زمان‌ها تغییرات بیان این ژن معنی داری نبود. نتیجه روند تغییرات بدین شکل بود که، در ۶ ساعت افزایش بیان و در ۱۲ ساعت پس از تیمار روند کاهش یافت. در سایر زمان‌ها روند بیان تقریباً ثابت و با تغییرات اندکی، همراه بود.

همان‌گونه که در شکل مشخص است، ابتدا افزایش بیان در ۶ ساعت و سپس کاهش بیان در ۱۲ ساعت و این روند تا ۴۸ ساعت ادامه داشت. در زمان ۷۲ ساعت پس از تیمار روند بیان، با افزایش ناگهانی رو به رو شد.

مطابق شکل ۳ در ۶ ساعت پس از تیمار بیان ژن T16H افزایش ۲۱٪ را نسبت به شاهد نشان داد. در ۱۲ ساعت میزان بیان این ژن، کاهش و به 40% شاهد رسید. در ۲۴ ساعت پس از تیمار، میزان افزایش $1/3$ برابر را نشان داد. در ۴۸ ساعت پس از تیمار، بیان، افزایش



شکل ۲- بیان نسبی ژن *Gl10H* تحت تیمار با اتفن در زمان‌های مختلف. * و ** به ترتیب اختلاف معنی دار در سطوح پنج و یک درصد.

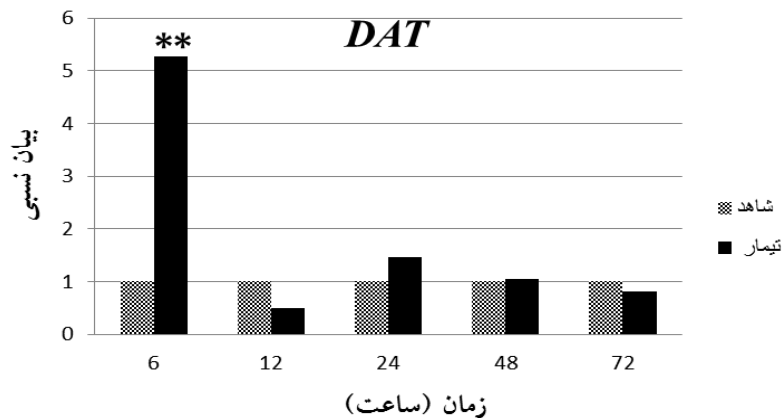


شکل ۳- بیان نسبی ژن *T16H* تحت تیمار با اتفن در زمان‌های مختلف. ** سطح معنی داری یک درصد.

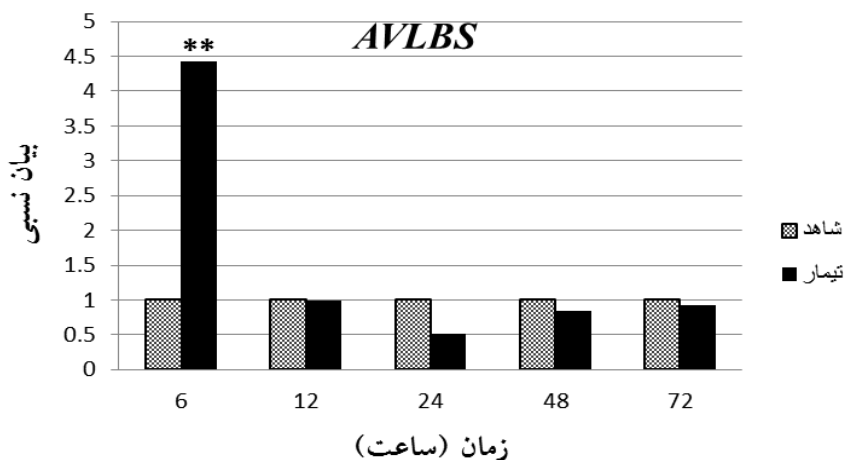
این گونه بود که در ۶ ساعت میزان بیان افزایش و سپس در ۱۲ ساعت بیان، کاهش یافت و در سایر زمان‌ها تقریباً از روند ثابتی پیروی کرد.

اثرات تیمار با اتفن بر روی میزان بیان ژن *AVLBS* در شکل ۵ نشان داده شده است. در ۶ ساعت پس از تیمار سطح بیان این ژن در گروه تیمار شده، افزایش $4/4$ برابری نسبت به گروه شاهد را نشان داد. در ۱۲ ساعت پس از تیمار میزان بیان، در نمونه تیمار شده، کاهش و به $996/0$ میزان شاهد رسید. در ۲۴ ساعت پس از نمونه‌برداری میزان بیان، به نصف مقدار شاهد خود کاهش پیدا کرد. در زمان ۴۸ ساعت پس از نمونه‌برداری میزان بیان *AVLBS* در سایر ۰/۸ مقدار شاهد خود بود. در ۷۲ ساعت سطح بیان تقریباً با شاهد برابر بود.

مطابق شکل ۴، بیان ژن *DAT* در ۶ ساعت پس از تیمار $5/2$ برابر شاهد می‌باشد. پس از ۱۲ ساعت میزان بیان این ژن، به نصف شاهد رسید. در ۲۴ ساعت بعد از تیمار، میزان بیان در مقایسه با شاهد افزایش $1/4$ را نشان داد. در ۴۸ ساعت میزان بیان این ژن افزایش $1/05$ را نسبت به شاهد نشان داد. در زمان ۷۲ ساعت سطح بیان این ژن کاهش و به $0/8$ شاهد خود رسید. مطابق شکل ۴ بیشترین میزان بیان در ۶ ساعت، و کمترین میزان بیان مربوط به ۱۲ ساعت پس از تیمار بود. در بین زمان‌های مختلف، تنها در ۶ ساعت، بیان ژن *DAT* در نمونه تیمار شده نسبت به شاهد اختلاف معنی داری را در سطح یک درصد نشان داد و در سایر زمان‌ها اختلاف معنی داری بین نمونه شاهد و تیمار شده مشاهده نشد. همان‌طور که در شکل ۴ دیده می‌شود روند تغییرات



شکل ۴- بیان نسبی ژن DAT تحت تیمار با اتفن در زمان‌های مختلف. ** سطح معنی داری یک درصد.



شکل ۵- بیان نسبی ژن AVLBS تحت تیمار با اتفن در زمان‌های مختلف. ** سطح معنی داری یک درصد.

گیاه شاهد بوده است که نشان می‌دهد که این ژن یکی از ژن‌ها پاسخ‌دهنده به اتیلن می‌باشد. El-Sayed and Verpoorte (2004) گزارش کردند که فعالیت پراکسیدازهای بازی در پروانش در تیمار با اتیلن افزایش پیدا می‌کند. آنهیدروروین‌پلاستین سیتیاز جزء دسته پراکسیدازهای بازی است. همچنین با بلاست توالی آمینو اسیدی ژن *CrPrx1* (ژن کد کننده آنزیم آنهیدروروین‌پلاستین سیتیاز)، مشخص شده است که توالی آمینو اسیدی این ژن، بیشترین شباهت را به پراکسیدازهای *Lycopersicum esculentum*, *Nicotiana tabacum*

بیشترین و کمترین میزان نسبی بیان به ترتیب، مربوط به ۶ و ۲۴ ساعت بود. از بین زمان‌های مذکور مشابه سایر ژن‌ها، تنها در ۶ ساعت پس از تیمار اتفن، اختلاف معنی داری بین نمونه شاهد و تیمار شده در سطح یک درصد مشاهده شد. روند تغییرات بیان این ژن، در زمان‌های مختلف مشابه به دو ژن DAT, T16H بود. مطالعات اخیر نشان داده که اتیلن و زأتین اثر سینزیستی قوی در فعالسازی سطح بیان ژن G10H داشتند (Papon et al. 2005) نتایج این تحقیق هم مشخص کرد که ژن G10H در دو زمان ۶ و ۷۲ ساعت در تیمار با اتیلن دارای افزایش معنی داری نسبت به

این اجزا شامل جعبه W، توالی شناسایی شونده توسط عوامل رونویسی MYB، جعبه AT و جعبه P است. وجود این عناصر همسو ساز جدید حاکی از آن است که پیشبر ژن *G10H* ممکن است به وسیله آبشار نسخه‌برداری متفاوتی تنظیم شود (Suttipanta et al. 2007).

نتایج تحقیق (Pan et al. 2010) نشان داد که تیمار با اتفن منجر به افزایش معنی‌دار میزان تولید وین بلاستین و پیش‌ماده‌های آن یعنی وین دولین و کاتاراتین، در ۲۴ ساعت پس از تیمار در مرحله گلدهی می‌شود. نتایج این تحقیق نشان داد که ژن‌های *AVLBS*, *DAT*, *T16H*, *G10H* افزایش بیان داشتند. اینگونه به نظر می‌رسد که با افزایش بیان این ژن‌ها در ۶ ساعت مدتی زمان لازم است تا این ژن‌ها بتوانند اثر خود را بر روی تولید متابولیت بگذارند و تولید آنها را افزایش دهند. البته الگوی کلی تغییرات در تولید متابولیتها در نتایج Pan et al. (2010) اینگونه بود که در ۲۴ ساعت میزان تولید متابولیتها افزایش یافت و در ۴۸ ساعت با کاهش روپرورد و در ۷۲ ساعت پس از تیمار میزان تولید متابولیت گفته شده مجدداً *G10H* افزایش پیدا کرد. با توجه به الگوی بیان ژن‌ها، احتمالاً ژن *G10H* در افزایش تولید متابولیتها در ۷۲ ساعت نقش دارد و ژن‌های *AVLBS*, *DAT*, *T16H* در آن نقشی ندارند.

نتیجه‌گیری

نتایج این تحقیق نشان داد که اتیلن اثر خود را از طریق ژن‌ها *AVLBS*, *DAT*, *T16H*, *G10H* بر روی مسیر بیوسنتری آلالوئیدهای ایندول ترپنoidی در گیاه پروانش می‌گذارد. روند بیان سه ژن *AVLBS*, *DAT* و *T16H* مشابه بود، ولی ژن *G10H* از روند بیان متفاوتی پیروی کرد. درین این ژن‌ها، در دو زمان شش و هفتاد و سه ساعت افزایش بیان قرار می‌گیرد.

تقدیر و تشکر

با تشکر از آقایان محمد زارع، محمد خلیلی، سیدرضا هاشمی، محسن علی‌پور، محمدحسن جعفری و کلیه کسانی که در این کار با ما همکاری داشتند.

بازی *Vigna angularis* (توسط اتیلن القا می‌شود)، را دارد (Costa et al. 2008). نتایج این تحقیق هم نشان‌دهنده این بود (شکل ۵) که تیمار با اتیلن باعث افزایش سطح بیان ژن *AVLBS* در ۶ ساعت شد.

همان‌طور که روند تغییرات بیان ژن‌ها *DAT*, *T16H*, *G10H* و *AVLBS* نشان داد، ابتدا افزایش سطح بیان در ۶ ساعت اتفاق افتاد. پس از آن در ۱۲ ساعت بیان آنها کاهش یافت به جز ژن *G10H* که در ۷۲ ساعت هم افزایش بیان داشت، سایر ژن‌ها از ۱۲ ساعت به بعد از روند ثابتی پیروی کردند. (Pauw et al. 2004) دریافتند که تحریک به وسیله عصاره مخمر در پروانش باعث افزایش بیان *ZCT* همزمان فاکتورهای رونویسی، *ORCA* (فعال‌کننده) و *Suttipanta* (2011) (مهارکننده)، می‌شود. همچنین نتایج تحقیقات *CrWRKY2* (که در مشخص کرد که افزایش بیان فاکتور رونویسی *CrWRKY2* پاسخ به متبل جاسمونات افزایش بیان داشت)، در کشت ریشه‌های موئین گیاه پروانش باعث افزایش سطح نسخه‌برداری، فاکتور رونویسی فعال کننده (*ORCA3*)، و مهارکننده (*ZCT*) می‌شود. القای همزمان فاکتورهای رونویسی فعال کننده و مهارکننده ممکن است، جهت تغییر خاموش و روشن شدن بیان ژن‌ها در پاسخ به محرک‌ها ضروری باشد (Pauw et al. 2004). با توجه به نتایج این احتمال وجود دارد که، تیمار با اتیلن باعث القای همزمان فاکتورهای رونویسی فعال کننده و مهارکننده می‌شود و سپس به طریقی که مکانیسم آن ناشناخته است، در ابتدا فعال کننده‌ها باعث افزایش بیان همزمان ژن‌ها در ۶ ساعت می‌شوند. سپس نوبت به مهارکننده‌ها می‌رسد که سطح بیان ژن‌ها را در ۱۲ ساعت پس از تیمار کاهش داده و باعث بازگشت مسیر بیوسنتری به حالت تعادل شوند.

ژن‌ها *AVLBS*, *DAT*, *T16H* از روند بیان مشابهی در تیمار با اتفن پیروی کردند. اما ژن *G10H*، در ۷۲ ساعت پس از تیمار با افزایش بیان ناگهانی، روبه رو شد. به نظر می‌رسد در مقایسه با توالی شناخته شده در پیشبر ژن‌های مسیر بیوسنتری آلالوئیدهای ایندول ترپنoidی مانند *TDC* و *STR*، برخی عناصر همسو ساز که در پیشبر ژن *G10H* وجود دارند، منحصر به فرد عمل می‌کنند.

منابع

- Atta UR, Basha A, Ghazala M (1976) Synthetic studies towards anti leukaemic alkaloids, VII- the partial synthesis of vinblastine and vincristine. *Tetrahedron Letters* 17: 2351-2354.
- Costa MMR, Hilliou F, Duarte P, Pereira LG, Almeida I, Leech M, Memelink J, Barcelo AR, Sotomayor M (2008) Molecular Cloning and Characterization of a Vacuolar Class III Peroxidase Involved in the Metabolism of Anticancer Alkaloids in *Catharanthus roseus*. *Plant Physiology* 146:403-417.
- De Luca V, Laflamme P (2001) The expanding universe of alkaloid biosynthesis. *Current Opinion in Plant Biology* 4:225-233.
- Decendit A, Liu D, Ouelhazi L, Doireau P, Merillon JM, Rideau M (1992) Cytokinin enhanced accumulation of indole alkaloids in *Catharanthus roseus* cell cultures: the factors affecting the cytokinin response. *Plant Cell Reports* 11:400-403.
- El-Sayed M, Verpoorte R (2004) Growth, metabolic profiling and enzymes activities of *Catharanthus roseus* seedlings treated with plant growth regulators. *Plant Growth Regulation* 44:53-58.
- El-Sayed M, Verpoorte R (2007a) *Catharanthus* terpenoid indole alkaloids: biosynthesis and regulation. *Phytochemistry Reviews* 6:277-305.
- El-Sayed M, Verpoorte R (2007b) Influence of growth retardants on serpentine accumulation in *Catharanthus roseus* cell suspensions cultures. *American Journal of Plant Physiology* 2:373-377.
- Endt DV, Kijne JW, Memelink J (2002) Transcription factors controlling plant secondary metabolism: what regulates the regulators? *Phytochemistry* 61:107-114.
- Gambino G, Perrone I, Gribaudo I (2008) A Rapid and Effective Method for RNA Extraction from Different Tissues of Grapevine and Other Woody Plants. *Phytochemical Analysis* 19: 520-525.
- Hedhili S, Courdavault V, Giglioli-Guivarch N, Gantet P (2007) Regulation of the terpene moiety biosynthesis of *Catharanthus roseus* terpene indole alkaloids. *Phytochemistry Reviews* 6:341-351.
- Kafi M, Kamkar B, Sharifi H, Goldani M (1384) Plant physiology. Mashhad ACECR Press, Mashhad, Iran. (In Farsi)
- Kutney JP (1977) Studies on the total synthesis of bisindole alkaloids in the vinblastine-vincristine series. *Lloydia* 40: 107-126.
- Loyola-Vargas VML, Rosa M, Avalos G, KuCauich R (2007) *Catharanthus* biosynthetic enzymes: the road ahead. *Phytochemistry Reviews* 6:307-339.
- Mukherjee AK, Basu S, Sarkar N, Ghosh AC (2001) Advances in cancer therapy with plant based natural products. *Current Medicinal Chemistry* 8:1467-1486.
- Murata J, De Luca V (2005) Localization of tabersonine 16-hydroxylase and 16-OH tabersonine-16-O-methyltransferase to leaf epidermal cells defines them as a major site of precursor biosynthesis in the vindoline pathway in *Catharanthus roseus*. *Plant Journal* 44:581-594.
- Oudin A, Courtois M, Rideau M, Clastre M (2007) The iridoid pathway in *Catharanthus roseus* alkaloid Biosynthesis. *Phytochemistry Reviews* 6:259-276.
- Pan Q, Chen Y, Wang Q, Yuan F, Xing SH, Tian Y, Zhao J, Sun X, Tang K (2010) Effect of plant growth regulators on the biosynthesis of vinblastine, vindoline and catharanthine in *Catharanthus roseus*. *Plant Growth Regulation* 60:133-141.
- Papon N, Bremer J, Vansiri A, Andreu F, Rideau M, Creche J (2005) Cytokinin and ethylene control indole alkaloid production at the level of the MEP/terpenoid pathways in *Catharanthus roseus* suspension cells. *Planta Medica* 71:572-574.
- Pasquali G, Goddijn OJM, de-Wall A, Verpoorte R, Schilperoort RA, Hoge JHC, Memelink, J (1992) Coordinated regulation of two indole alkaloid biosynthetic genes from *Catharanthus roseus* by auxin and elicitors. *Plant Molecular Biology* 18:1121-1131.
- Pauw B, Hilliou FAO, Martin VS, Chatel G, Wolf CJF, Champion A, Pre M, Duijn BV, Kijne JW, van der Fits L, Memelink J (2004) Zinc Finger Proteins Act as Transcriptional Repressors of Alkaloid Biosynthesis Genes in *Catharanthus roseus*. *Journal of Biological Chemistry* 279: 52940-52948.
- Roytrakul S, Verpoorte R (2007) Role of vacuolar transporter proteins in plant secondary metabolism: *Catharanthus roseus* cell culture. *Phytochemistry Reviews* 6:383-396.
- Scott A (1979) Biosynthesis of indole alkaloids. *Accounts of Chemical Research* 3:151.
- Suttipanta N (2011) Characterization of G10H Promoter and Isolation of WRKY Transcription factors Involved In *Catharanthus* Terpenoid Indole Alkaloid Biosynthesis Pathway. Dissertation, University of Kentucky, USA.
- Suttipanta N, Pattanaik S, Gunjan S, Xie CH, Littleton J, Yuan L (2007) Promoter analysis of the *Catharanthus roseus* geraniol 10-hydroxylase gene involved in terpenoid indole alkaloid biosynthesis. *Biochimica et Biophysica Acta* 1769: 139-148.
- Svoboda GH, Blake DA (1975) The phytochemistry and pharmacology of *Catharanthus roseus* (L) G. Don. In: Taylor WI, Farnsworth NR, eds. The catharanthus alkaloids. New York, NY: Marcel Dekker. 45-83.
- Van der Fits L, Memelink J (2000) ORCA3, a jasmonate responsive transcriptional regulator of plant primary and secondary metabolism. *Science* 289:295-297.

Van der Heijden R, Jacobs DI, Snoeijer W (2004) The *Catharanthus* alkaloids: Pharmacognosy and biotechnology. Current Medicinal Chemistry 11:1241-1253.

Vazquez-Flota F, Hernandez-Dominguez E, Miranda-Ham MDL, Monforte M (2009) A differential response to chemical elicitors in *Catharanthus roseus* in vitro cultures. Biotechnology Letters 31:591-595.

Yahia A, Kevers C, Gaspar T, Chenieux J, Rideau M, Creche J (1998) Cytokinins and ethylene stimulate indole

alkaloid accumulation in cell suspension cultures of *Catharanthus roseus* by two distinct mechanisms. Plant Science 133:9-15.

Zhao J, Verpoorte R (2007) Manipulating indole alkaloid production by *Catharanthus roseus* cell cultures in bioreactors: from biochemical processing to metabolic engineering. Phytochemistry Reviews 6:435-457.

Archive of SID